

ISTITUTO DI CHIMICA DELLA MATERIA CONDENSATA E TECNOLOGIE PER L'ENERGIA (ICMATE)

# Sostenibilità e materiali inorganici per l'energia

Simona Barison

PADOVA



Istituto per l'Energetica e le Interfasi

Padova

# CHI SIAMO



Istituto per l'Energetica e le Interfasi

Padova

## Dipendenti

Filippo Agresti  
Simona Barison  
Simone Battiston  
Stefano Boldrini  
Silvia Deambrosis  
Monica Fabrizio  
Alessia Famengo  
Stefano Fasolin  
Alberto Ferrario  
Stefania Fiameni  
Enrico Miorin  
Alvise Miozzo  
Francesco Montagner  
Cecilia Mortalò  
Cesare Pagura  
Valentina Zin



## Post doc

Elena Rebollo

## PhD

Matteo Romano

Il concetto di sviluppo sostenibile in Italia (D.Lgs. 3 aprile 2006, n. 152 e D.lgs 16 gennaio 2008, n. 4[6], è così definito:

- Art. 3-quater (Principio dello sviluppo sostenibile) Ogni attività umana [...] deve conformarsi al principio dello sviluppo sostenibile [...] il principio dello sviluppo sostenibile deve consentire di individuare un equilibrato rapporto, nell'ambito delle risorse ereditate, tra quelle da risparmiare e quelle da trasmettere, [...]

In Italia il "Piano d'azione per la sostenibilità ambientale dei consumi della pubblica amministrazione" (PAN GPP) (legge 296 del 2006 e decreto interministeriale 11 aprile 2008), ha definito **gli obiettivi ambientali strategici in Italia**:

- **efficienza e risparmio nell'uso delle risorse, in particolare dell'energia e conseguente riduzione delle emissioni di CO<sub>2</sub>**
- **riduzione dell'uso di sostanze pericolose**
- **riduzione quantitativa dei rifiuti prodotti.**

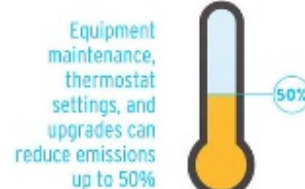
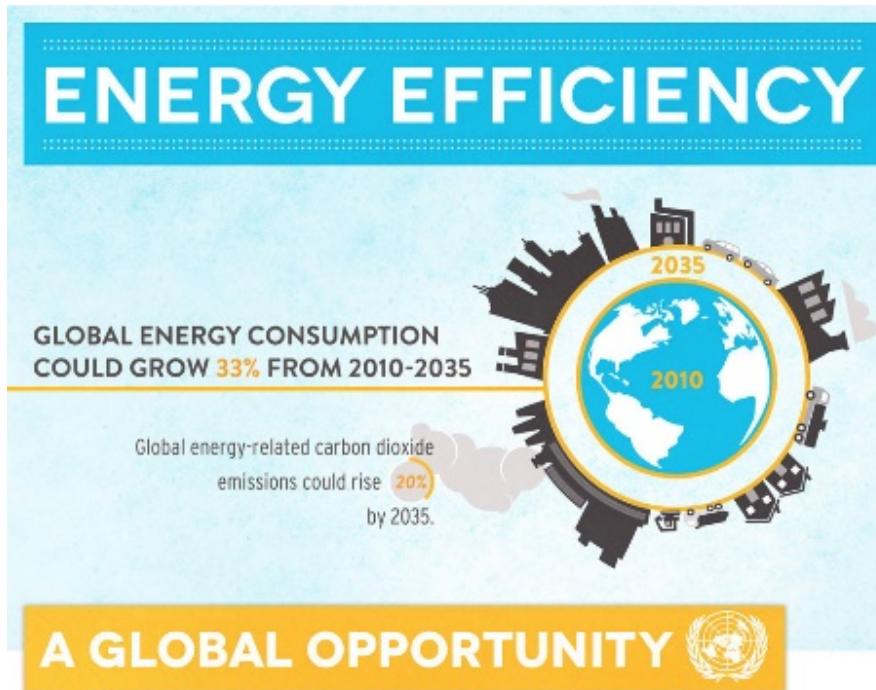
# Sostenibilità Energetica



Istituto per l'Energetica e le Interfasi

Padova

Efficienza energetica ed energie rinnovabili sono state definite dalle Nazioni Unite come i PILASTRI GEMELLI di una energia sostenibile.



Equipment maintenance, thermostat settings, and upgrades can reduce emissions up to 50%



Investing \$170 billion annually in energy efficiency worldwide could generate an average rate of return of 17%

## BUILDINGS

Efficient building upgrades could save the annual energy consumption of the US, Russia, India and Africa combined



## LIGHTING

Savings potential from efficient residential and services lighting is equal to the energy consumption of 60 million US homes.



## TRANSPORTATION

Programs like fuel-efficiency requirements offer savings equivalent to half the annual global electricity consumption.



## INDUSTRY

More efficient manufacturing and IT usage could save the equivalent annual energy consumption of the EU and China combined.



## APPLIANCES

More efficient appliances like TVs could save the equivalent of taking 48 million U.S. cars off the road for a year.



Complying with national standards for 26 household appliance would have energy savings equal to 200 mid-sized power plants.



Keeping your tires properly inflated can save 5% in overall vehicle fuel consumption.



Shifting to CFLs could save \$113 billion in avoided new coal-fired power plants.

Since 2007, South Africa has distributed over 47 million CFL light bulbs creating demand savings of 1,958 Megawatts.

## UTILITIES



-8%

+5%

## ATTIVITA' DEL GRUPPO

### Efficienza energetica

Termoelettrici per il recupero energetico di calori dispersi (studio di materiali non tossici né rari)

Nanolubrificanti e rivestimenti duri per il miglioramento dell'efficienza energetica di dispositivi e l'aumento del loro tempo di vita mediante riduzione di attrito e usura

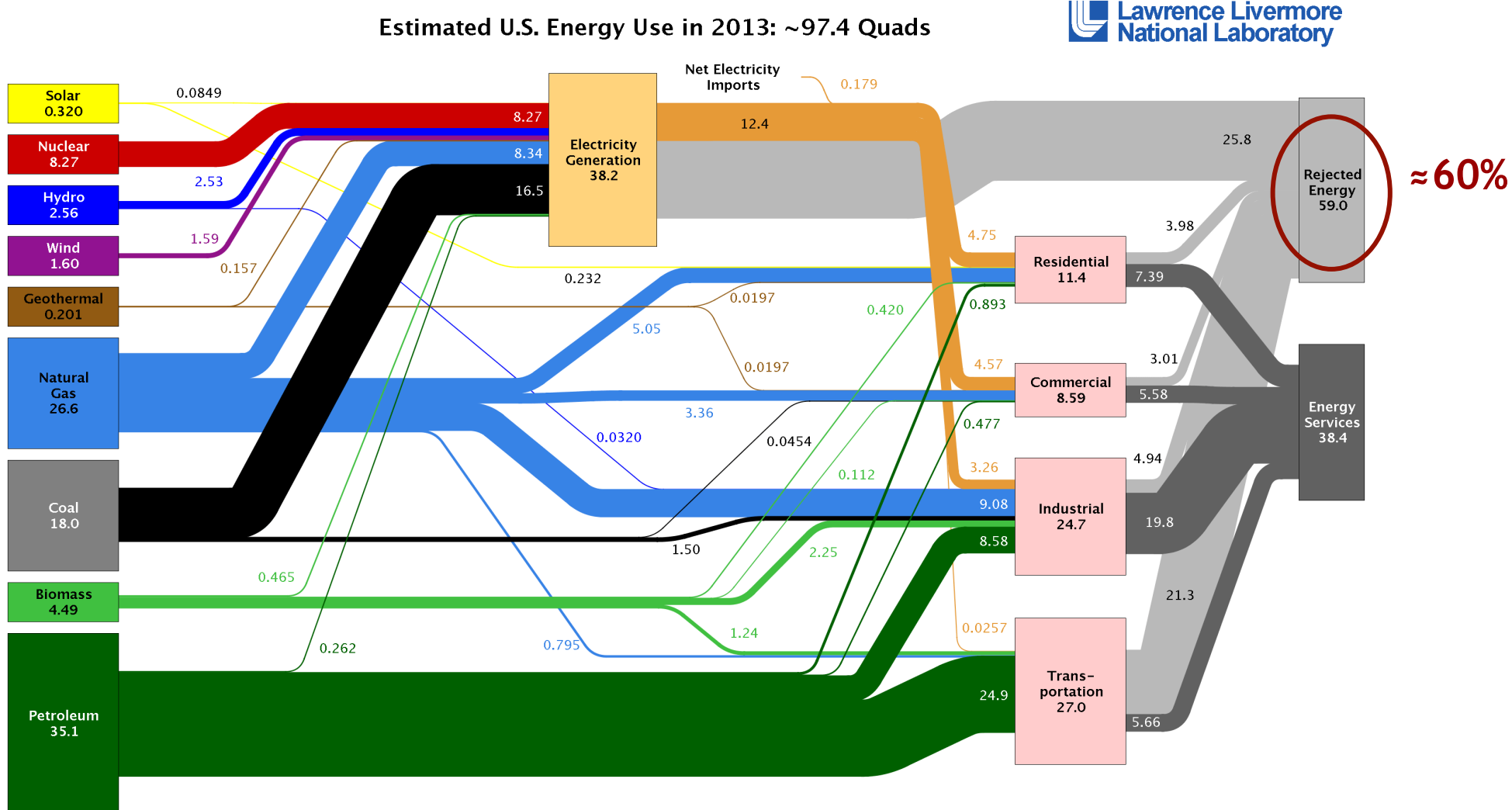
Rivestimenti per miglioramento di resistenza ad ossidazione a caldo e di prestazioni di turbine a gas

### Energie rinnovabili e economia dell'idrogeno

Membrane per la purificazione/separazione di idrogeno prive di metalli nobili o con film sottili contenenti metalli nobili

Nanofluidi neri per l'assorbimento solare.

# Generatori termoelettrici



Data based on DOE/EIA-0035(2014-03), Marzo 2014

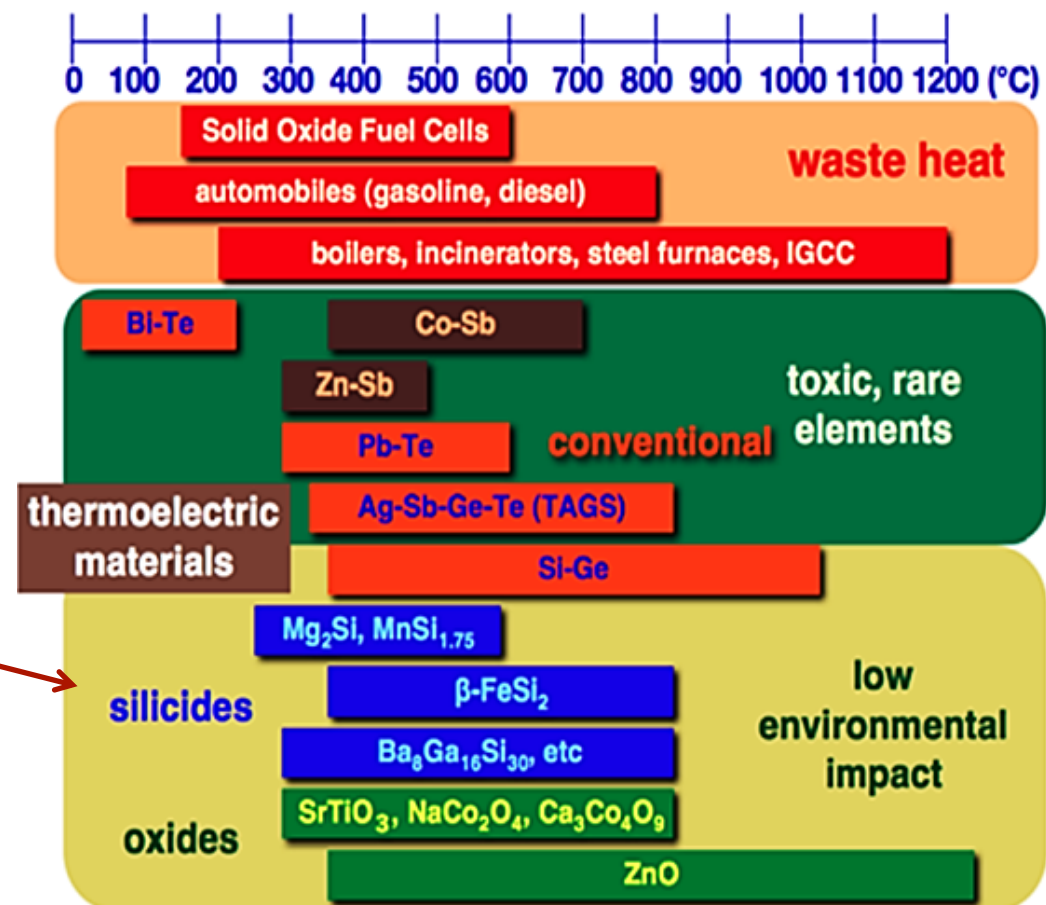
# Generatori termoelettrici



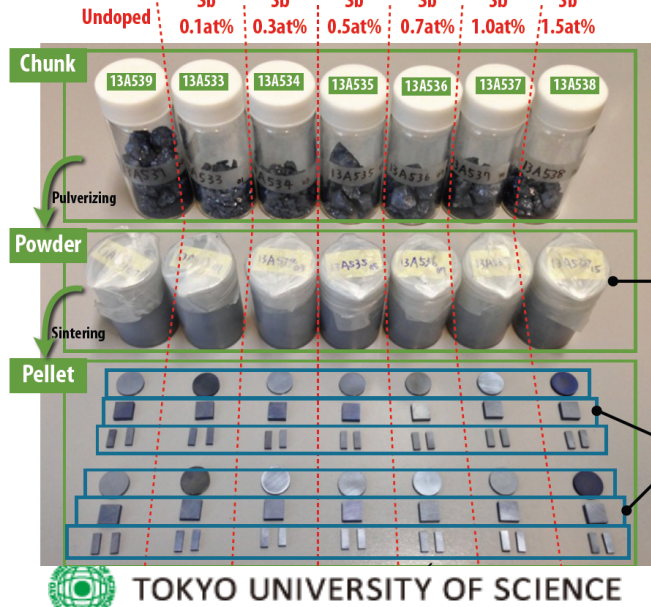
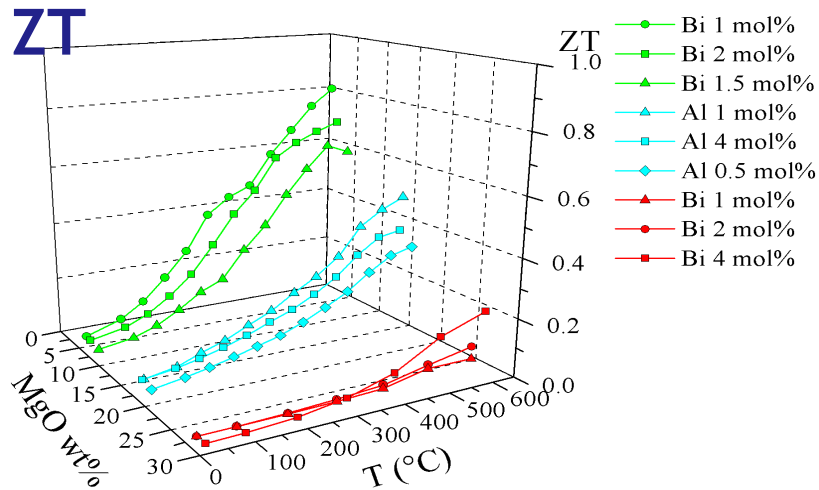
Sviluppo di materiali e dispositivi termoelettrici per il recupero di energia da cascami termici a medio-alte temperature (fino a 600°C): **Siliciuri di tipo n e p e tetraedriti.**

**Mg<sub>2</sub>Si e Higher manganese silicides**  
Impiego a temperature intermedie  
(fino a 600 °C)  
green (basso costo, abbondanti,  
bassi costi di smaltimento)  
Bassa densità

**Tetraedriti (Cu<sub>12</sub>Sb<sub>4</sub>S<sub>13</sub>)**  
Per temperature fino a circa 450 °C



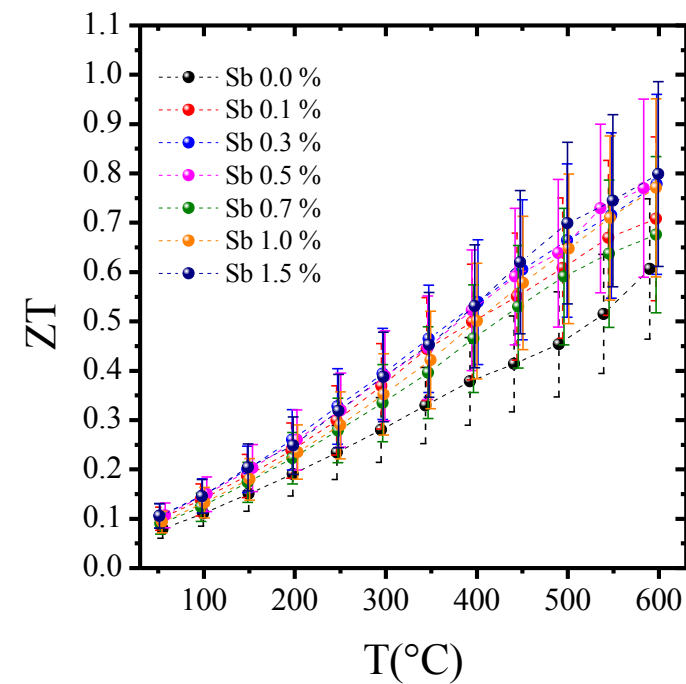
# Siliciuri -Mg (n), Mn (p)



L'elemento drogante influenza sia le proprietà termoelettriche (ZT) che la stabilità all'ossidazione

La quantità di MgO ha un ruolo determinante nell'abbassamento dello ZT

$$ZT = \frac{S^2 \sigma}{K} T$$

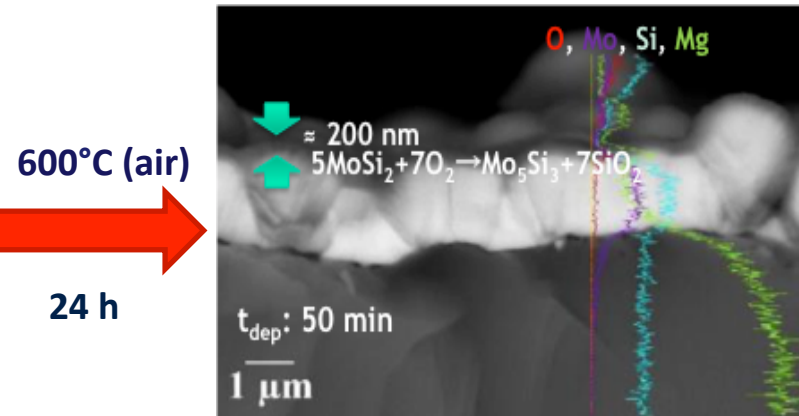
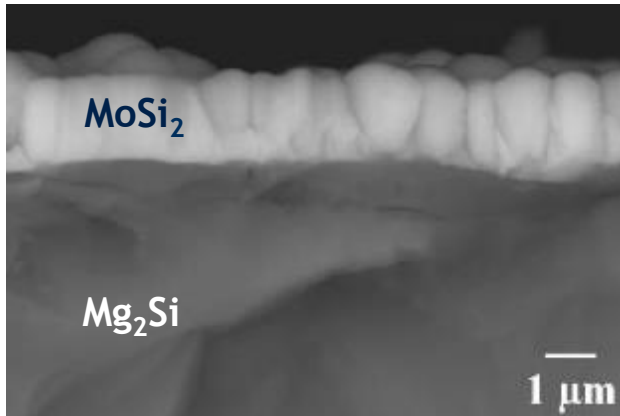


# Siliciuri -Mg (n), Mn (p)



Istituto per l'Energetica e le Interfasi

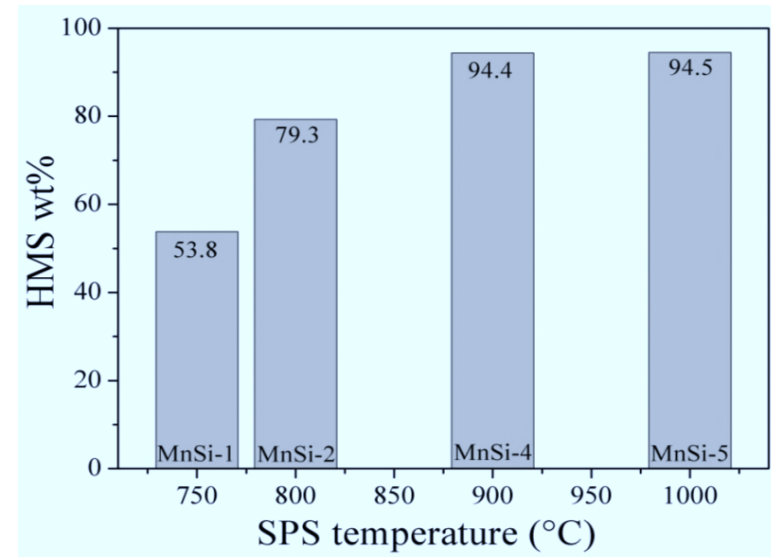
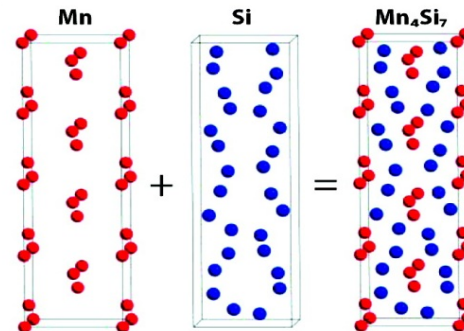
Padova



## Higher Manganese Silicides (HMS)

Sintesi e sinterizzazione in un singolo step via SPS a 90 MPa e 1000°C

$ZT_{HMS\ 95\%} = 0.34$   
@ 600 °C



Rivestimenti  $MoSi_2$  via RF-magnetron sputtering come barriera all'ossidazione:

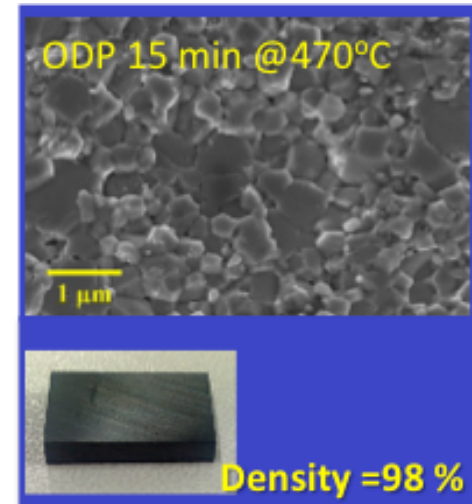
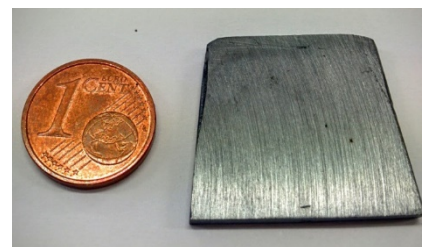
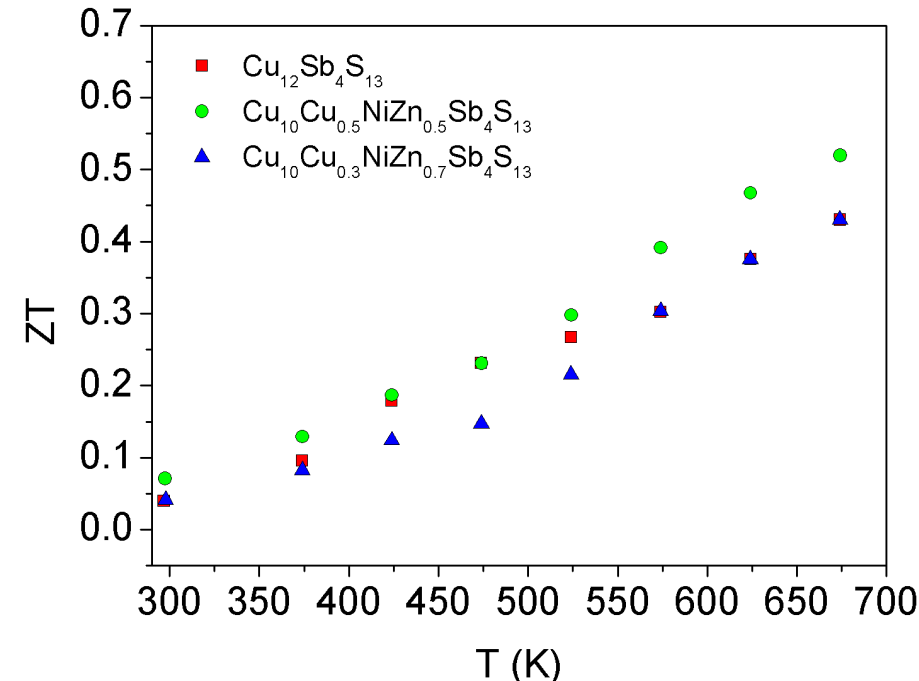
- Alta T fusione (2030 °C);
- Formazione strato sottile silice;
- Basso costo e abbondanti.

## Tetrahedrite, a possible sustainable thermoelectric material for middle temperatures (350-450 °C)



- Ball Milling
- Solvothermal Synthesis

Consolidation Process: Open Die Pressing @ Lecco



**Poster P2: S. Battiston et al. "Simultaneous synthesis and sintering of tetrahedrite based thermoelectric materials"**

# Caratterizzazione funzionale



Istituto per l'Energetica e le Interfasi

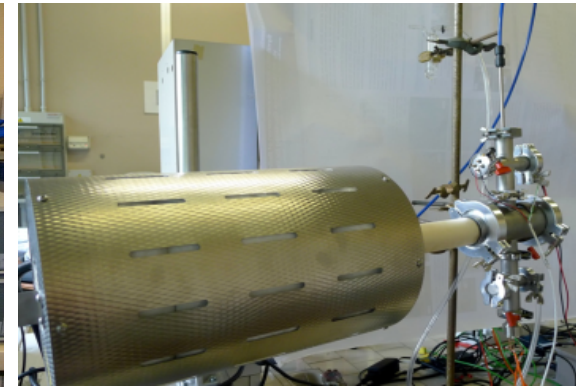
Padova

Simultaneous Seebeck coefficient and electrical conductivity measurement

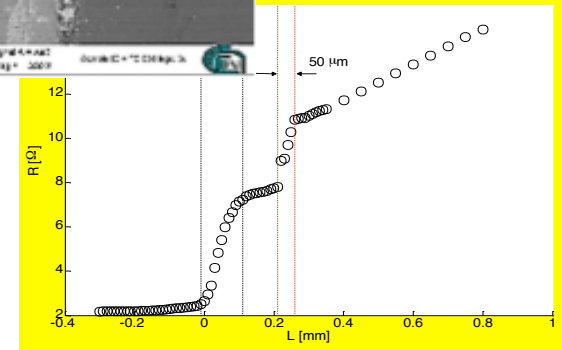
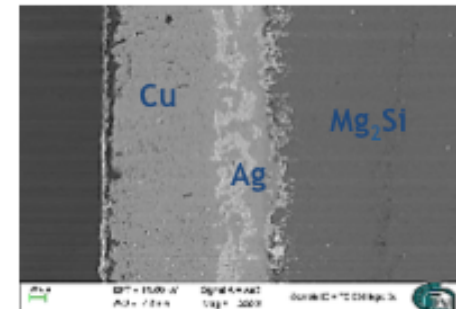
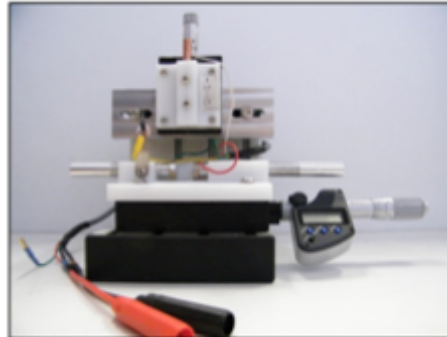
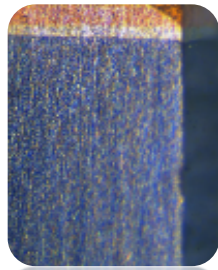
2 configurations: RT – 1000K and RT-1500K temperature ranges

LabView automated procedure

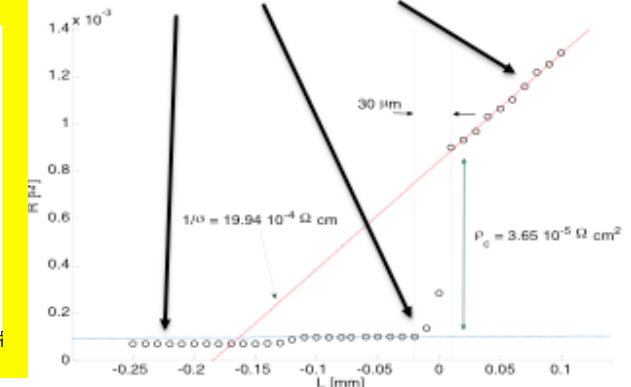
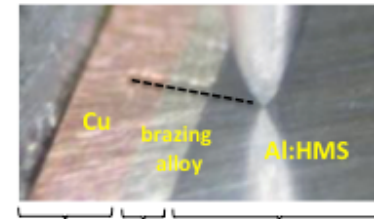
Laser Flash Thermal Diffusivity



## Misura di resistenza di contatto



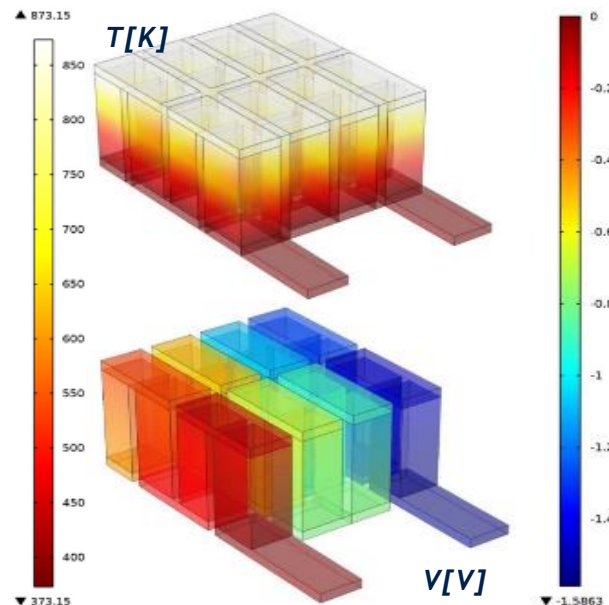
## Esempio di HMS/Ag<sub>alloy</sub>/Cu



# Multiphysics modeling of thermoelectric generator



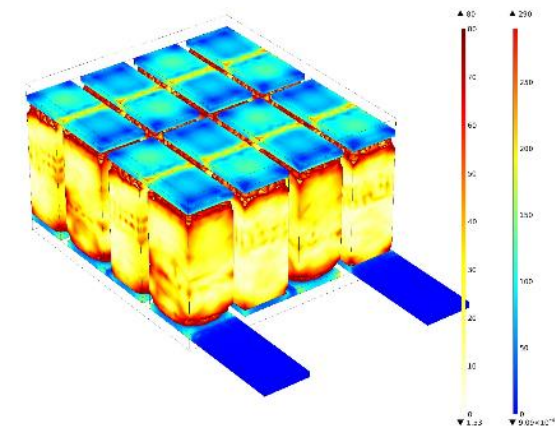
*Numerical calculation of temperature and voltage distributions for different values of (Ap/An) ratio*



*Evaluation of heat flux and output power*



*Evaluation of maximum efficiency*

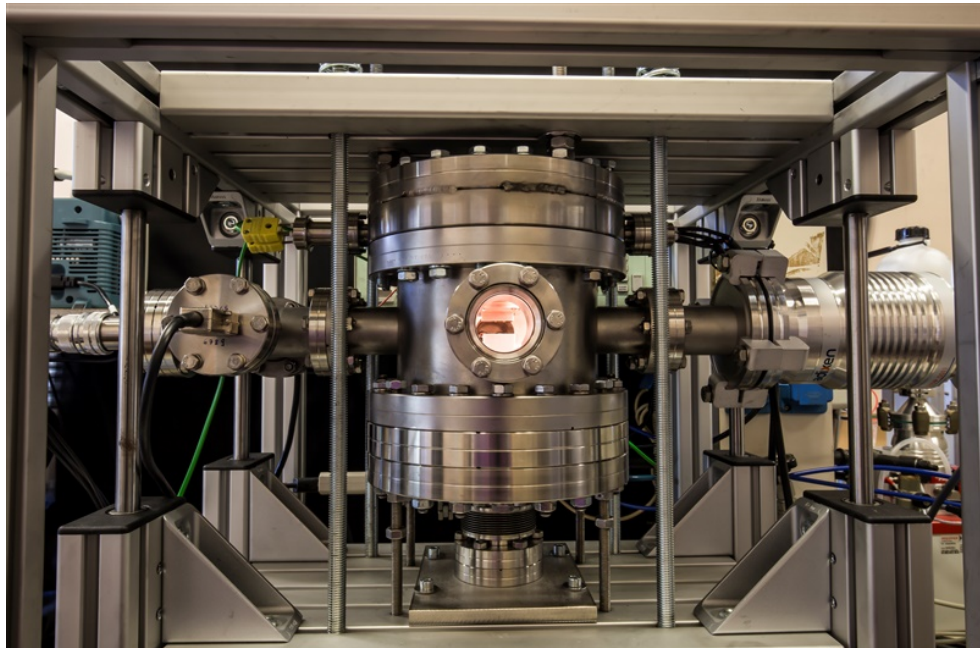


*Evaluation of mechanical strength of the modules*

# Caratterizzazione di moduli termoelettrici

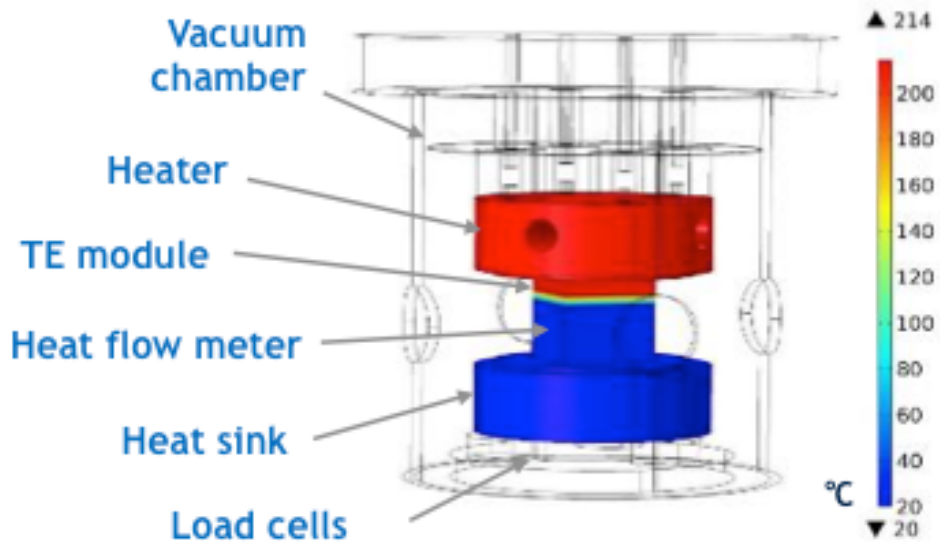


## *TE module measurement apparatus*



We developed a testing device oriented to the maximum flexibility, based on the heat flow meter method at the cold side of the module

*Operating in vacuum (from RT up to 900 K) or inert atmosphere*



**Presentazione Martedì 1 ore 12.15: A. Ferrario “Termoelettrici per temperature intermedie: sviluppo e caratterizzazione di moduli”**

## Efficienza energetica e sostenibilità ambientale

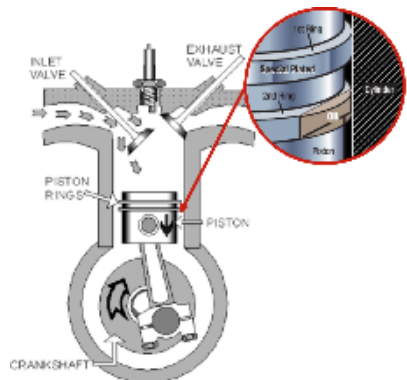
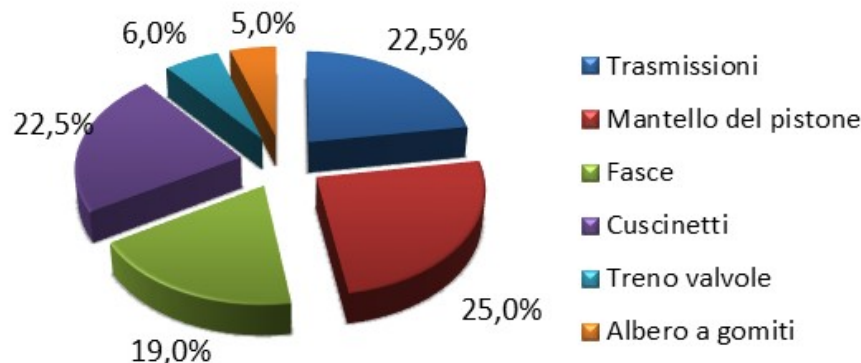
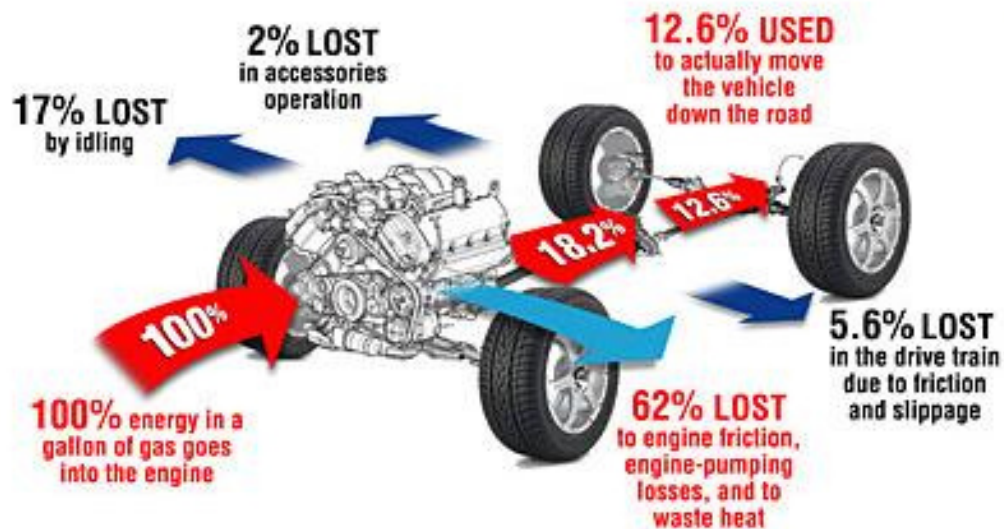
**Nanolubrificanti e rivestimenti duri per il miglioramento dell'efficienza energetica di dispositivi e l'aumento del loro tempo di vita mediante riduzione di attrito e usura**

# Efficienza energetica – riduzione di attrito e usura



Development of new lubricants containing nanoparticles able to warrant better performances than commercial oils (**durability, wear resistance, friction and heat transfer**).

In combustion engines an important part of energy output is lost due to friction.

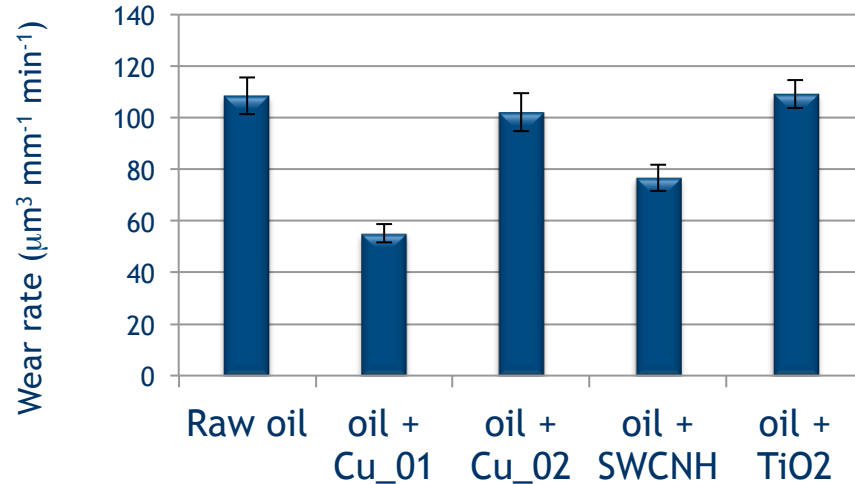


# Sinergia rivestimenti + nanolubrificanti



Istituto per l'Energetica e le Interfasi

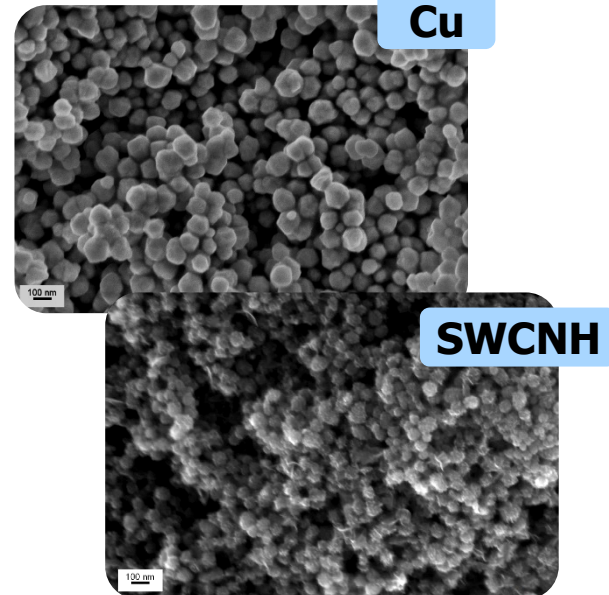
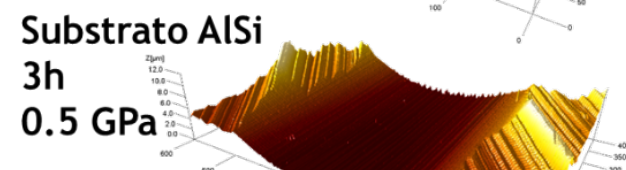
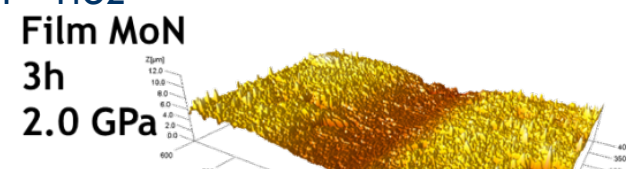
Padova



D.60 Pistons - AlSi Alloy



Mo/AlSi      Bulk AlSi      MoN/Mo/AlSi  
"Graded composition"



**Presentazione Martedì 1 ore 13.00: V. Zin "Approccio tribologico nella caratterizzazione funzionale di rivestimenti e lubrificanti"**

# Efficienza energetica – riduzione di attrito e usura



Only for domestic applications, **1,4 billion refrigerators and freezers** in use worldwide (EU data 2013), accounting for **almost 14% of total electricity consumption** from residential sector. Investigation on the potential advantages of nanolubricants in a compressor used in the refrigeration/air conditioning.

Some studies demonstrated an important reduction in energy consumption due to even small changes in lubricant properties.

CO<sub>2</sub> advantages:

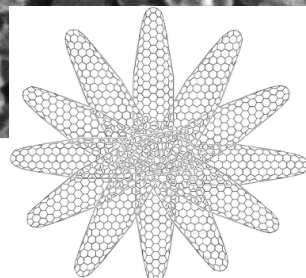
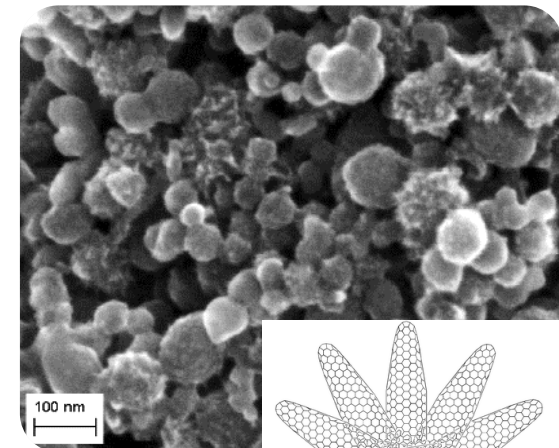
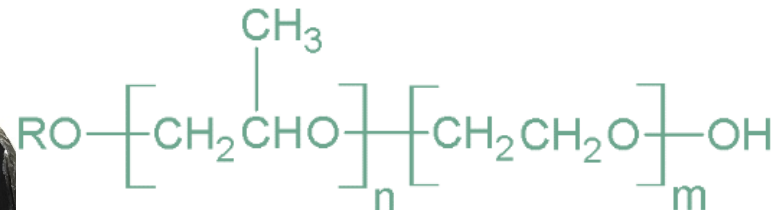
low viscosity,  
low toxicity and  
flammability,

...



Base fluid

Commercial Poly-Alkylene Glycol (PAG)  
for CO<sub>2</sub> refrigeration



# Nanolubrificanti per refrigerazione



<b>Config</b>	Pin-on-disk
<b>Lubricant</b>	PAG PAG + 0,2% <sub>wt</sub> SWCNHs
<b>T and P</b>	Room T and P
<b>Normal Force</b>	140 N
<b>Sliding speed</b>	0,2 m/s



Pin and disk from test performed with the base oil showed intense wear, and great damage, because of the achievement of the failure conditions, which brought materials to breakage.

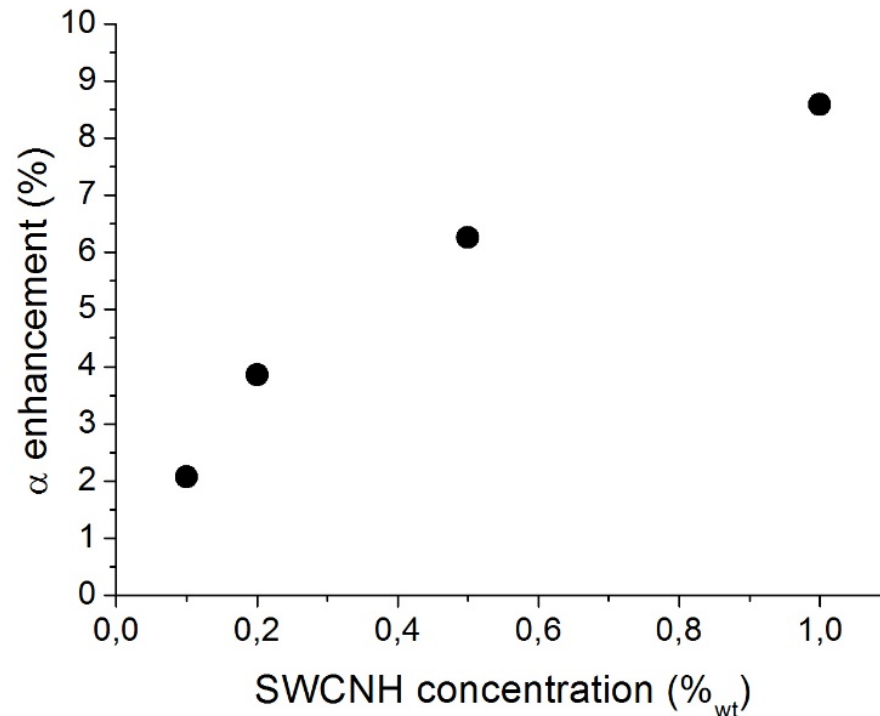
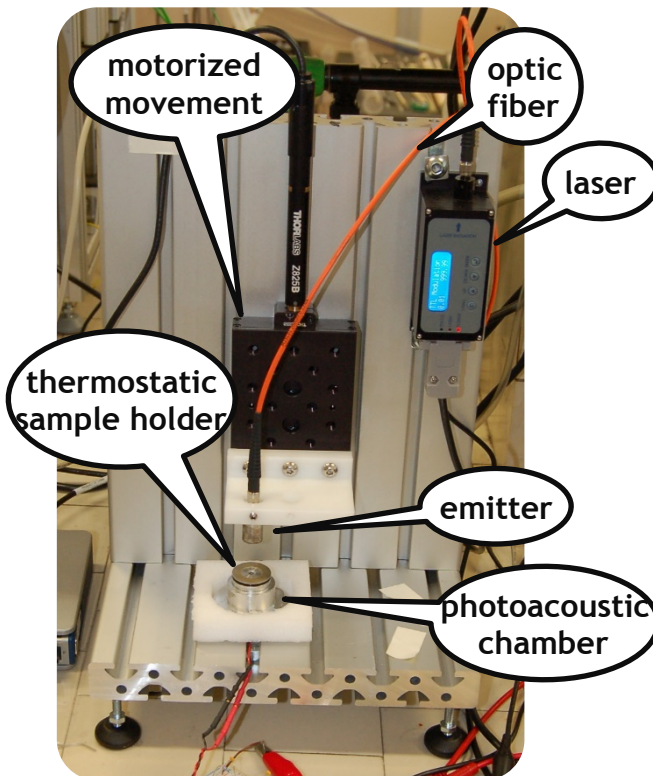
Test with nanolubricant lasted for 125'000 cycles without reaching such failure conditions.

# Nanolubrificanti per refrigerazione



The thermal diffusivity of raw oil and nanolubricants was evaluated in the 25°–65°C range, by **photoacoustic measurements**.

## THERMAL DIFFUSIVITY



A **non-linear increase of average thermal diffusivity with nanoparticles % was observed.**

**Maximum increase of 9%**

## Efficienza energetica

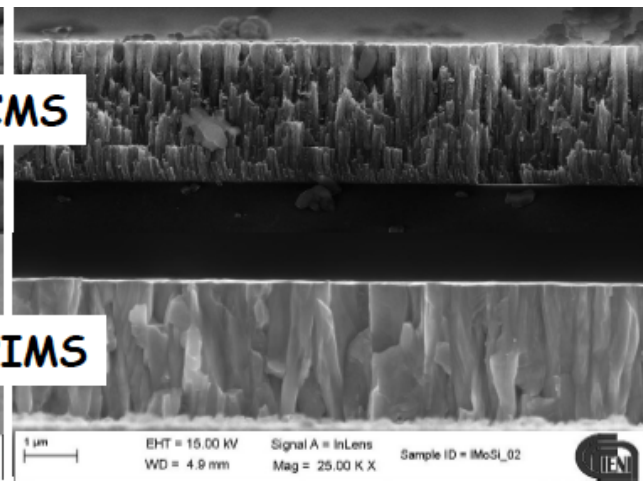
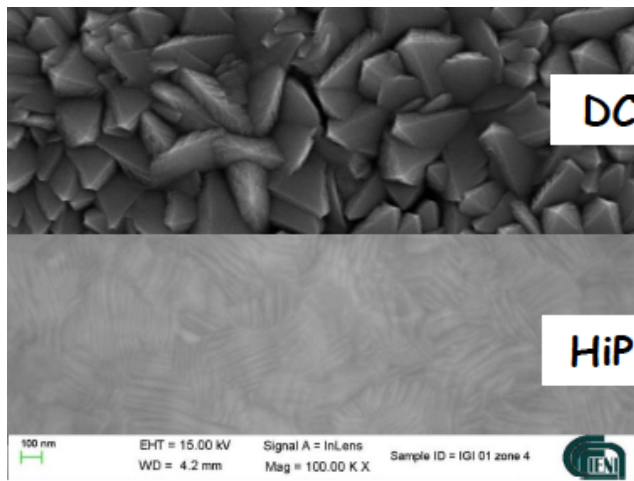
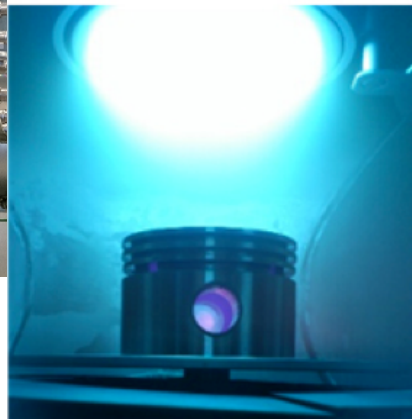
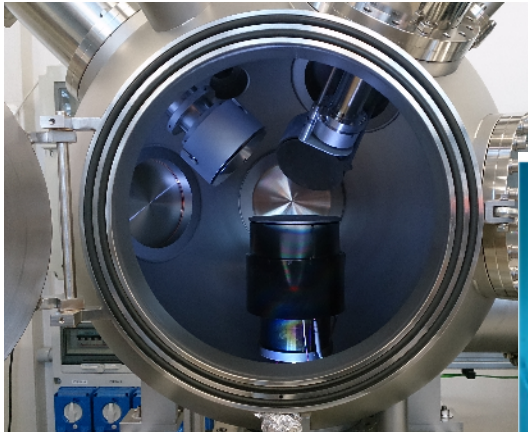
**Rivestimenti per miglioramento di resistenza ad ossidazione a caldo e di prestazioni di turbine a gas**

# HiPIMS – High Power Impulse Magnetron Sputtering



Istituto per l'Energetica e le Interfasi

Padova



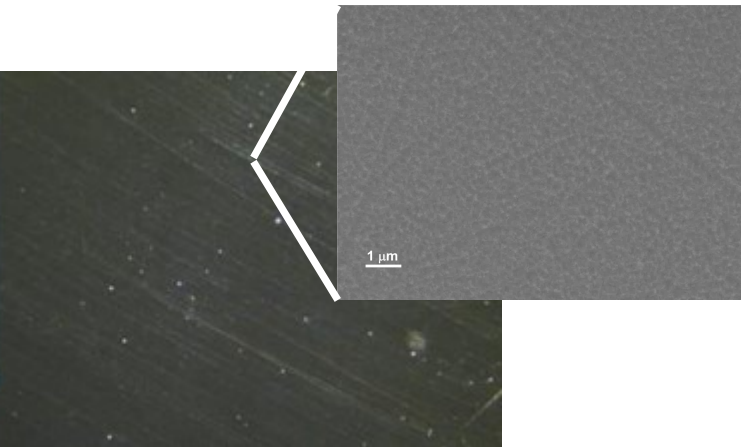
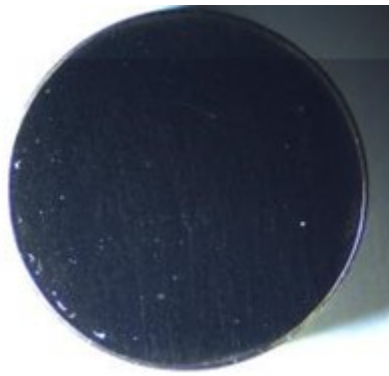
# Rivestimenti per turbine a gas



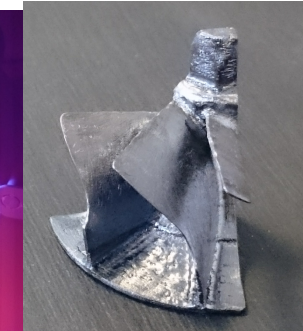
L'utilizzo di leghe **TiAl** in luogo di superlegghe a base nichel permetterebbe una riduzione del peso di componenti strutturali delle turbine a gas **del 20-30%**, con miglioramento delle prestazioni della turbina e riduzione dei consumi.

È però **necessario aumentarne la resistenza all'ossidazione** (temperature fino a 850°C).

Il **rivestimento con film a base di AlTiN via HiPIMS** è mirato al miglioramento della resistenza ad ossidazione a caldo e al miglioramento della **resistenza ad usura** (test burner rig).



AlTiN\_001 depositato su lega a base TiAl



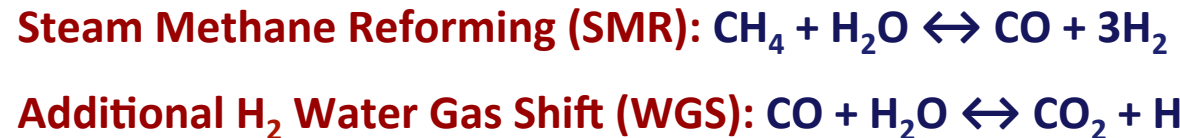
## Economia dell'idrogeno sostenibile

**membrane per la purificazione/separazione di idrogeno prive di metalli nobili o con film sottili contenenti metalli nobili**

# Membrane per separazione H<sub>2</sub>



Più del 90% dell'idrogeno viene da fonti fossili (US DoE)



Target di costo previsti dal DoE = 1000\$/m<sup>2</sup> → Pd assente o spessore < 5 μm

MEMBRANES TYPES	Dense polymer Polyesters, urethanes	Microporous ceramic Silica, Alumina	Dense metallic Pd, V, Ta, Nb, their alloys	Porous carbon C	Dense ceramic Proton conducting ceramics
T (°C)	<100°C	200-600°C	300-600°C	500-900°C	600-900°C
H <sub>2</sub> selectivity	High	Moderate	Extremely high	Moderate-Low	Very High
Transport mechanism	Solution-diffusion	Molecular sieving	Solution-diffusion	Surface diffusion Molecular sieving	Solution-diffusion
Advantages	low cost, good scalability	Cost and Scalability	Selectivity	Temperature range	Selectivity
Issues	Chemical resistance Mechanical strength Swelling	Limited stability in steam Brittle	Material Cost Phase transition CO poisoning	Very brittle Oxidising Difficult processing	Stability (CO <sub>2</sub> , H <sub>2</sub> O) Early stage of development

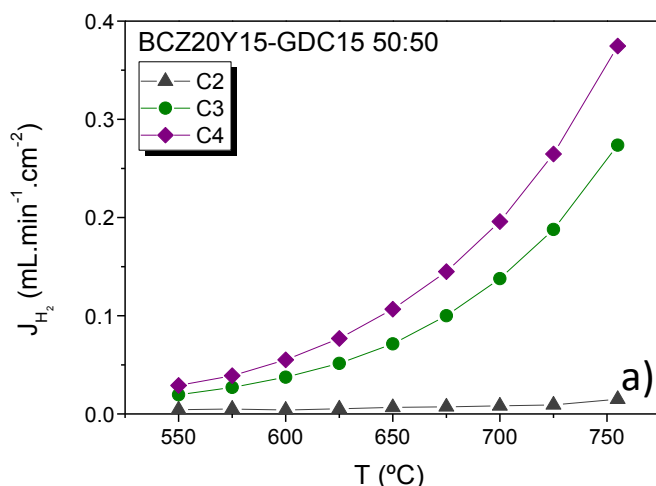
# Membrane per separazione H<sub>2</sub>



Membrane ceramiche: per trasporto non galvanico di idrogeno devono trasportare H<sup>+</sup> e elettroni

H <sup>+</sup> -conductors
$\text{BaCe}_{1-x}\text{Zr}_x\text{Y}_{0.15}\text{O}_{3-\delta}$
e <sup>-</sup> -conductors
$\text{Ce}_{1-y}\text{M}_y\text{O}_2$ (M = Y, Gd)

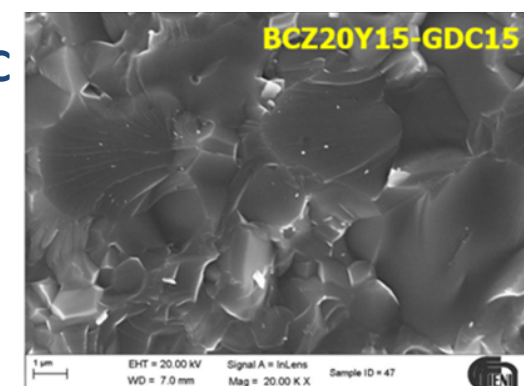
Requisiti
Elevata conducibilità protonica e elettronica
Alti flussi H <sub>2</sub> (> 0,1 m <sup>3</sup> /h/m <sup>2</sup> )
Adeguata robustezza meccanica
Stabilità chimica alle T di esercizio (600-800°C) e in presenza di gas quali CO <sub>2</sub> , CO, CH <sub>4</sub> , H <sub>2</sub> S, ..
Bassi costi di fabbricazione



For BCZ20Y15-GDC15 50:50 membrane,  
H<sub>2</sub> flow up to **0.35 mL·min<sup>-1</sup>·cm<sup>-2</sup>** at 755°C

Among the highest H<sub>2</sub> flows for bulk  
mixed protonic-electronic membranes

**Stability demonstrated in CO<sub>2</sub>**  
environment



**Poster P34: E. Rebollo et al. "Notable hydrogen permeation and CO<sub>2</sub>-stability of ceramic-ceramic composite membranes based on BaCe<sub>0.65</sub>Zr<sub>0.2</sub>Y<sub>0.15</sub>O<sub>3-d</sub> and Y- or Gd-doped CeO<sub>2</sub>"**

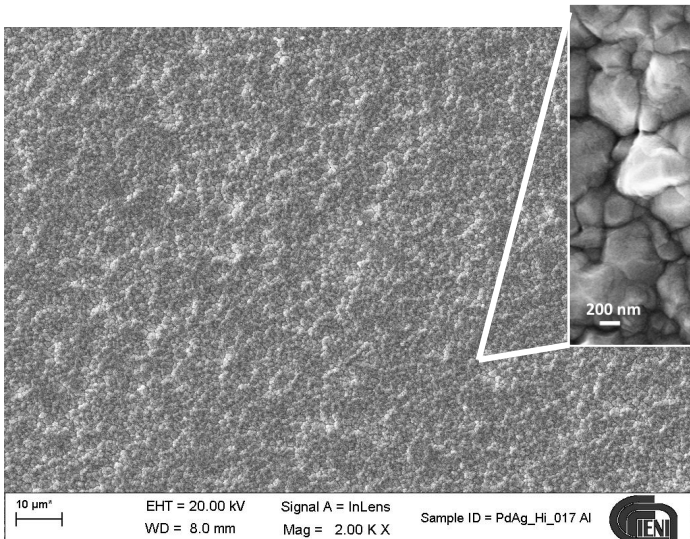
# Membrane per separazione H<sub>2</sub>



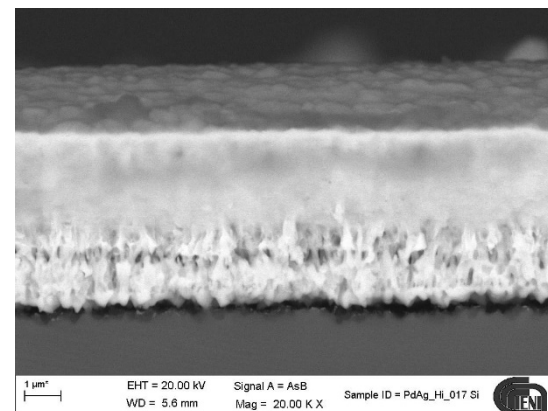
Istituto per l'Energetica e le Interfasi

Padova

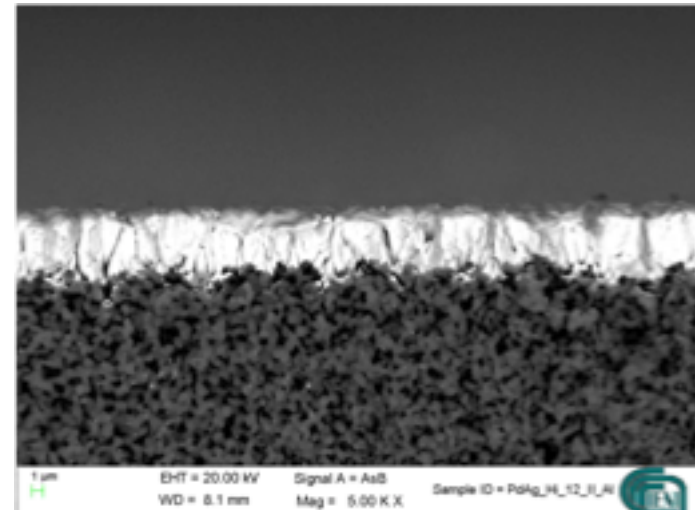
## Membrane metalliche di PdAg (Pd 77 wt% - Ag 23 wt%)



Pd-Ag su allumina porosa  
(superficie)



Pd-Ag su Si



Pd-Ag su allumina porosa  
(sezione)

Altre leghe di Pd  
in fase di studio

**Energie rinnovabili sostenibili**

**Nanofluidi neri per l'assorbimento solare.**

# Nanofluidi neri per l'assorbimento della radiazione solare

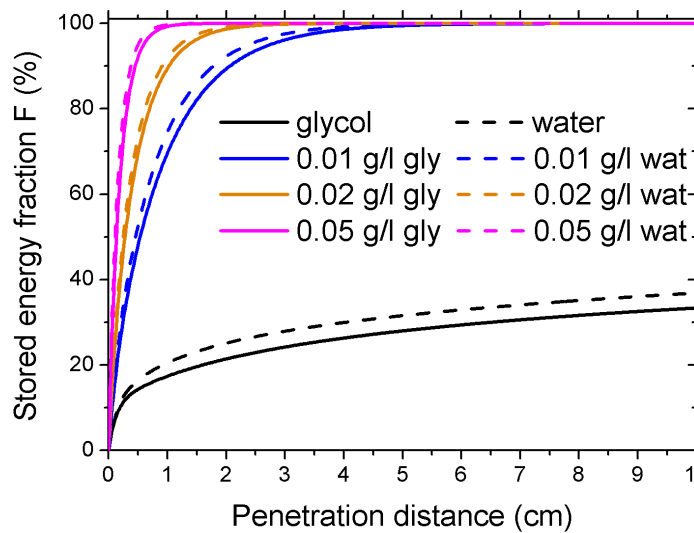
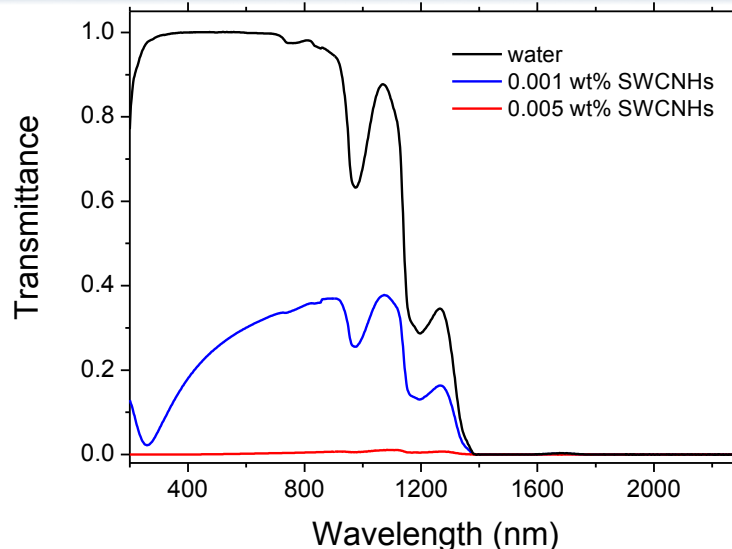
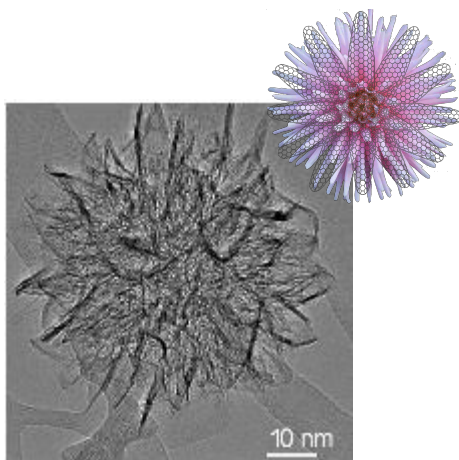


Istituto per l'Energetica e le Interfasi

Padova



0.005wt%    0.001wt%



Presentazione Lunedì 29 ore 17.15: S. Fasolin "Metodologie di sintesi di materiali per l'energetica"